

Бистабильность и хаос в оптических системах.

Оптическая турбулентность.

Лекция подготовлена в рамках спецкурса для аспирантов кафедры квантовой электроники физического ф-та МГУ "Современные проблемы лазерной физики".

§ 01 Основные термины

◆ Прежде чем перейти к рассмотрению конкретных моделей, полезно уточнить термины, стоящие в названии лекции. Рассмотрим некую гипотетическую (в нашем случае - оптическую) систему, у которой есть по меньшей мере один вход и один выход.

◆ Под **бистабильностью** будем понимать ситуацию, в которой система при одних и тех же условиях на входе может выдавать несколько (обычно - два) различных сигнала на выходе. Часто такую ситуацию детектируют по наличию гистерезисной зависимости $I_{out}(I_{in})$, другими словами, состояние, в котором окажется система, обычно зависит от ее предыстории.

◆ Под **хаосом** будет понимать ситуацию, в которой при регулярном поведении сигнала на входе выходной сигнал будет обладать хаотическим поведением в его классическом понимании (см. подробности, например, в спецкурсе П.В.Елютина "Нелинейная динамика").

◆ Термин "турбулентность" требует более тщательной расшифровки. Классический сценарий Ландау перехода к турбулентному движению в гидродинамике требует возникновения квазипериодического движения с тремя несоизмерными частотами, кроме того размерность странного аттрактора осциллятора Лоренца, который часто используется в качестве модели для описания турбулентного движения, близка к 2. Близкое отношение к понятию турбулентности также имеют процессы самоорганизации типа ячеек Бенара. Другими словами, "турбулентность" предполагает наличие нескольких измерений, в которых происходит хаотическое движение или связанная с ним самоорганизация, т.е. возникновение неодномерных предельных циклов или странных аттракторов.

◆ Поэтому под **оптической турбулентностью** будет понимать ситуацию, в которой при регулярном входном сигнале на выходе системы будет возникать хаотическое поведение сигнала как минимум в двух измерениях или возникновение неодномерных регулярных структур, спектр которых не связан со спектром входного сигнала. Примеры оптической турбулентности можно найти в монографии Ахманова и Никитина "Физическая оптика".

✧ С.А.Ахманов, С.Ю.Никитин "Физическая оптика" - М.:МГУ (1998).

◆ Далее будут рассмотрены две модели, демонстрирующие введенные выше понятия.

§ 02 Нелинейная среда в интерферометре Фабри-Перо.

◆ Рассмотрим нелинейную среду, помещенную между зеркалами интерферометра Фабри-Перо (рис.1) с коэффициентами пропускания и отражения T и R , соответственно.

✧ Н.М.Gibbs, S.L.McCall, T.N.C.Venkatesant “*Differential gain and bistability using a sodium-filled Fabry-Perot interferometer*”, Phys.Rev.Lett., **36**, 1135 (1976); T.Bishofbergen, Y.R.Shen “*Theoretical and experimental study of the dynamic behaviour of a nonlinear Fabry-Perot interferometer*”, Phys.Rev.A, **19**, 1169 (1979).

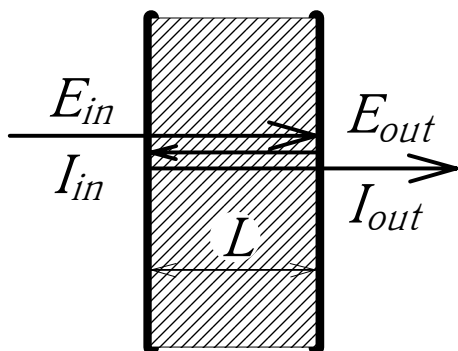


Рис.1. Интерферометр Фабри-Перо с нелинейной керровской средой.

◆ Если на вход интерферометра падает когерентное световое поле с амплитудой E_{in} , то поле на выходе интерферометра в момент времени t может быть определено при помощи рекуррентной формулы

$$E_{out}(t) = TE_{in}(t) + Re^{i\Delta\phi} E_{out}(t - \tau), \quad (1)$$

где $\tau = 2L/c$, L - расстояние между зеркалами интерферометра, а $\Delta\phi$ - набег фазы поля при двойном пробеге через интерферометр. Учитывая, что в интерферометре находится среда с керровской нелинейностью, а поле внутри интерферометра прямо пропорционально полю на выходе, может записать набег фазы в виде

$$\Delta\phi = \phi_0 + \gamma |E_{out}|^2, \quad (2)$$

где ϕ_0 - набег фазы в интерферометре без нелинейной среды, а γ - коэффициент нелинейности. Если интенсивность входного поля меняется медленно по сравнению со временем τ и временем реакции среды, то зависимость $I_{out}(I_{in})$ может быть найдена из стационарного решения уравнения (1):

$$\left\{ 1 - R \exp\left(i\phi_0 + i\gamma |E_{out}|^2 \right) \right\} E_{out} = TE_{in}. \quad (3)$$

Домножая (3) на комплексно-сопряженное выражение, получаем искомое соотношение:

$$T^2 I_{in} = \left(1 + R^2 - 2R \cos(\phi_0 + \gamma I_{out}) \right) I_{out}. \quad (4)$$

◆ График полученной зависимости показан на рис.2. Легко видеть, что полученная зависимость оказывается многозначной. Несложно убедиться в том, что ветви с отрицательным наклоном будут абсолютно неустойчивы. Для этого

рассмотрим слабые отклонения от стационарного решения уравнения (1) $E_{out}(t) = E_s + \varepsilon(t)$ и линеаризуем (1) относительно ε :

$$\varepsilon(t) = Re^{i\Delta\varphi} \left\{ (1 + i\gamma I_s) \varepsilon_\tau + i\gamma E_s^2 \varepsilon_\tau^* \right\}, \quad (5)$$

где $\varepsilon_\tau \equiv \varepsilon(t - \tau)$. Для исследования устойчивости необходимо найти собственные значения матрицы, связывающей значения ε и ε^* в моменты времени t и $t - \tau$. Вычисляя детерминант матрицы

$$\begin{vmatrix} Re^{i\Delta\varphi} (1 + i\gamma I_s) - \lambda & i\gamma Re^{i\Delta\varphi} E_s^2 \\ -i\gamma Re^{-i\Delta\varphi} (E_s^*)^2 & Re^{-i\Delta\varphi} (1 - i\gamma I_s) - \lambda \end{vmatrix} \quad (6)$$

и приравняв его нулю, получаем уравнение

$$\lambda^2 - (1 + R^2 - G^{-1})\lambda + R^2 = 0, \quad (7)$$

где G - дифференциальный коэффициент усиления:

$$G^{-1} = T^2 \frac{dI_{in}}{dI_{out}} = T^2 \frac{I_{in}}{I_{out}} + 2\gamma R I_{out} \sin(\varphi_0 + \gamma I_{out}). \quad (8)$$

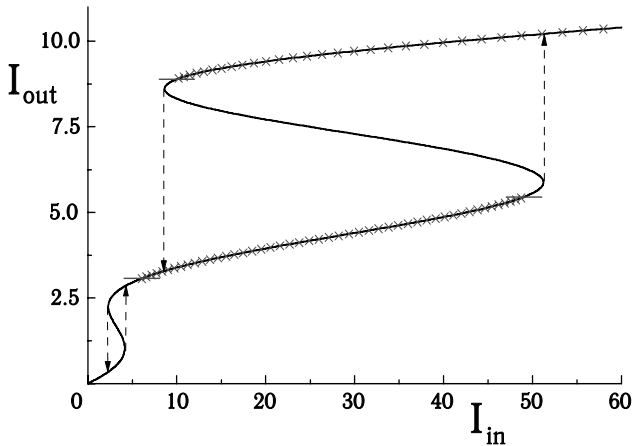


Рис.2. Зависимость $I_{out}(I_{in})$, $R = 0.5$, $\varphi_0 = -3\pi/4$, $\gamma = 1$. Пунктиром показаны направления скачков с одной устойчивой ветви на другую, крестиками выделены области осциллирующего или хаотического поведения системы.

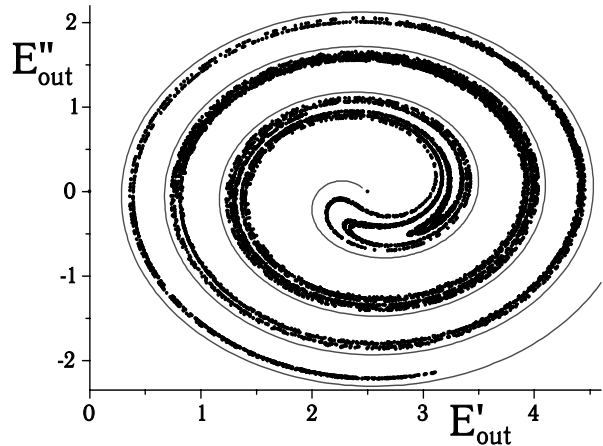


Рис.3. Фазовый портрет $E''_{out}(E'_{out})$ хаотического поведения системы при $I_{in} = 5$. Сплошной линией показан приближенный вид (14) странного аттрактора.

Условие устойчивости $|\lambda| < 1$ эквивалентно выполнению двойного неравенства

$$0 < G^{-1} < 2(1 + R^2). \quad (9)$$

Таким образом, ветвь с отрицательным наклоном оказывается неустойчивой, а зависимость $I_{out}(I_{in})$ имеет гистерезисный характер, как показано на рис.2 стрелочками. Другими словами, в области многозначности наблюдается **биста-**

бильность: величина интенсивности света на выходе зависит не только от входной интенсивности, но и от предыстории системы.

◆ Теперь рассмотрим смысл второго неравенства (9). На рис.2 области, где это условие нарушается, выделены крестиками. При достижении I_{in} нижней границы такой области интенсивность на выходе начинает осциллировать. При дальнейшем возрастании входной интенсивности происходят последовательные удвоения периода осцилляций, приводящие в итоге к возникновению **хаоса** по сценарию Фейгенбаума (рис.3). Подобное хаотическое поведение хорошо изучено для осциллятора Икеды, представляющего собой кольцевой резонатор с нелинейной средой, который с математической точки зрения практически эквивалентен рассматриваемой системе.

✧ К.Икеда, Н.Дайдо, О.Акимото “*Optical turbulence: chaotic behaviour of transmitted light from ring cavity*”, Phys.Rev.Lett., **45**, 709 (1980); П.С.Ланда “*Нелинейные колебания и волны*”, §15.3 - М.:Наука (1997).

◆ В случае $R \ll 1$ можно приближенно найти форму возникающего странного аттрактора. Представим амплитуду поля на выходе, в соответствии с (4), в виде $E_{out} = TE_{in}(1 + \rho e^{i\varphi})$, $\rho \sim R \ll 1$. Подставляя ее в (1), получаем

$$\rho e^{i\varphi} = R(1 + \rho_{\tau} e^{i\varphi_{\tau}}) \exp \left\{ i\varphi_0 + i\gamma T^2 I_{in} |1 + \rho_{\tau} e^{i\varphi_{\tau}}|^2 \right\}. \quad (10)$$

Легко заметить, что

$$\rho^2 = R^2 |1 + \rho_{\tau} e^{i\varphi_{\tau}}|^2. \quad (11)$$

Тогда (10) можно переписать в следующем виде:

$$\rho e^{i(\varphi - \varphi_0 - \gamma T^2 I_{in} \rho^2 / R^2)} = R(1 + \rho_{\tau} e^{i\varphi_{\tau}}). \quad (12)$$

Аргумент правой части этого выражения

$$|\psi| = \left| \arctg \left\{ \frac{\rho \sin \varphi}{1 + \rho \cos \varphi} \right\} \right| \leq \arctg \rho \sim R \ll 1, \quad (13)$$

Поэтому в первом приближении амплитуда ρ и фаза φ связаны соотношением

$$\gamma T^2 I_{in} \rho^2 = R^2 (\varphi - \varphi_0), \quad (14)$$

которое вполне адекватно описывает форму странного аттрактора даже при $R = 0.5$ (рис.3).

◆ Перейдем к рассмотрению поперечных неоднородностей в интерферометре Фабри-Перо с керровской нелинейностью. Для этого добавим в (1) член, описывающий дифракцию света. Кроме того, будем считать время τ достаточно малым, чтобы было достаточно описывать изменения E_{out} при помощи ее первой производной $E_{out}(t + \tau) \equiv E(t + \tau) \approx E(t) + \tau E_t$:

$$\tau E_t = TE_{in} - E + RE e^{i\Delta\varphi} + id\Delta_{\perp} E. \quad (15)$$

✧ L.A.Lugiato, R.Lefever “Spatial dissipative structures in passive optical systems”, Phys.Rev.Lett., **58**, 2209 (1987)

◆ Стационарное решение (4) в этом случае остается неизменным, а вот условия устойчивости приобретают вид требования отрицательности инкремента нарастания κ малых отклонений $\varepsilon(t, \rho) = \varepsilon e^{\kappa t + ik\rho}$ в соотношении $\kappa(k)$, задаваемым выражением

$$\begin{vmatrix} Re^{i\Delta\phi} (1 + i\gamma I_s) - 1 - \kappa\tau - idk^2 & i\gamma Re^{i\Delta\phi} E_s^2 \\ -i\gamma Re^{-i\Delta\phi} (E_s^*)^2 & Re^{-i\Delta\phi} (1 - i\gamma I_s) - 1 - \kappa\tau + idk^2 \end{vmatrix} = 0 \quad (16)$$

Аналитическое исследование этого уравнения слишком громоздко, поэтому на рис.4 показаны численно полученные области неустойчивости (ср. с рис.2). Таким образом, даже если система устойчива в продольном направлении, она почти всегда неустойчива по отношению к поперечным возбуждениям с определенными волновыми векторами, и если интерферометр Фабри-Перо и диаметр пучка накачки имеют достаточные поперечные размеры, то в системе будут формироваться поперечно-неоднородные структуры, являющиеся примерами **оптической турбулентности**.

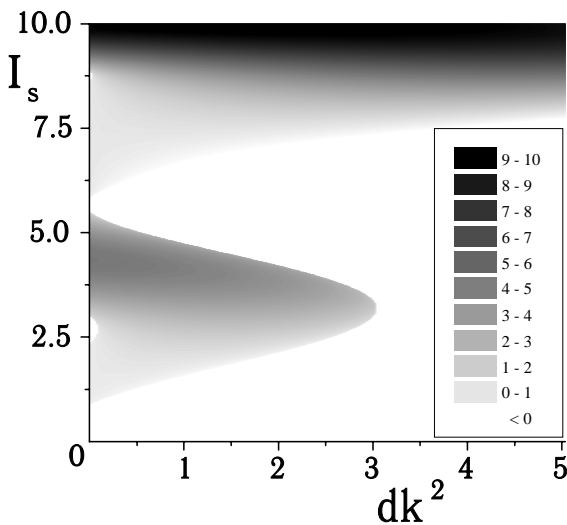


Рис.4. Области поперечной неустойчивости системы (15) на плоскости “интенсивность на выходе I_s - квадрат волнового вектора dk^2 ”, $R = 0.5$, $\phi_0 = -3\pi/4$, $\gamma = 1$. Контрастом показано значение инкремента нарастания $\kappa\tau$.

§ 03. Нелинейная среда с обратной связью.

◆ Перейдем к рассмотрению несколько иной системы. Луч световой накачки падает на тонкий слой толщины L нелинейной среды, медленно (с запаздыванием) реагирующей на проходящее через нее излучение, отражается от зеркала, стоящего на расстоянии D , и снова проходит через нелинейность (рис.5). Свет, таким образом, проходит через нелинейную среду только два раза, однако благодаря инерционности нелинейности он оказывает влияние на прохождение света в следующие моменты времени. Амплитуды падающего $F(z)$ и отражен-

ного $B(z)$ поля внутри нелинейной среды могут быть описаны системой уравнений

$$\begin{aligned} F_z &= i\gamma n F; \\ B_z &= -i\gamma n B; \end{aligned} \quad (17)$$

где γ , как и ранее, коэффициент нелинейности среды, а n - ее показатель преломления, зависящий от интенсивности проходящего через него света:

$$\tau n_t - d\Delta_{\perp} n + n = |F|^2 + |B|^2. \quad (18)$$

Здесь τ - характерное время реакции среды, а d - коэффициент диффузии, приводящей к расплыванию неоднородностей показателя преломления. В случае распространенной модели нелинейности, обусловленной перераспределением носителей заряда в зоне проводимости, d пропорционально квадрату их длины свободного пробега. При этом эволюция светового поля между нелинейным слоем и зеркалом описывается обыкновенным параболическим уравнением

$$\begin{aligned} 2iqF_z + \Delta_{\perp} F &= 0; \\ -2iqB_z + \Delta_{\perp} B &= 0; \end{aligned} \quad (19)$$

где $q = 2\pi c/\lambda$ - волновой вектор света. Отметим, что функции F , B , n одновременно зависят от времени t , продольной координаты z и поперечного радиус-вектора ρ , однако ни в одном из уравнений не присутствуют явно сразу все эти переменные, что значительно упрощает исследование системы.

✧ W.J.Firth "Spatial instabilities in a Kerr medium with single feedback mirror", J.Mod.Optics, **37**, 151 (1990); G.D'Alessandro, W.J.Firth "Spontaneous hexagon formation in a nonlinear optical medium with feedback mirror", Phys.Rev.Lett., **66**, 2597 (1991)

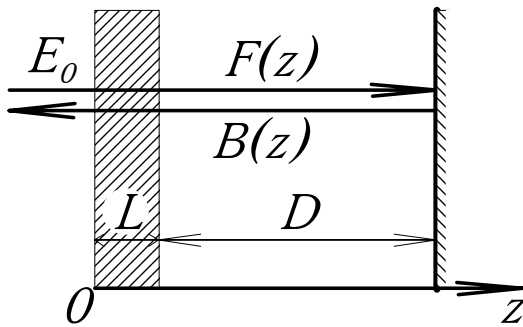


Рис.5. Нелинейный слой с зеркалом обратной связи.

◆ Стационарное поперечно-однородное решение системы (17-19) находится элементарно:

$$\begin{aligned} F_0 &= E_0 e^{i\gamma n_0 z}; \\ B_0 &= r E_0 e^{i\gamma n_0 (2L-z) + 2iDq}; \\ n_0 &= (1 + R) I_0; \end{aligned} \quad (20)$$

где $R = |r|^2$ - коэффициент отражения зеркала, а I_0 - интенсивность накачки. Рассмотрим слабые отклонения от стационарного решения

$$\begin{aligned} F &= F_0 + f; \\ B &= B_0 + b; \\ n &= n_0 + \varepsilon. \end{aligned} \quad (21)$$

Подставляя их в уравнения (17), получаем

$$\begin{aligned} f_z &= i\gamma F_0 \varepsilon + i\gamma n_0 f; \\ b_z &= -i\gamma B_0 \varepsilon - i\gamma n_0 b. \end{aligned} \quad (22)$$

Так как поперечный радиус-вектор ρ в уравнения не входит, удобно произвести по нему фурье-преобразование. Тогда уравнение (18) примет вид

$$\tau \varepsilon_t + (1 + dk^2) \varepsilon = F_0 f^* + B_0 b^* + \text{к.с.}, \quad (23)$$

где k - координата в поперечном спектральном пространстве. Аналогично, из (19) получаем:

$$\begin{aligned} 2iqf_z - k^2 f &= 0; \\ 2iqb_z + k^2 b &= 0. \end{aligned} \quad (24)$$

Логично предположить, что ε , как и n_0 (20), не зависит от z . Тогда можно точно решить уравнения (22,24), получив для слабых возмущений поля в среде выражения

$$\begin{aligned} f &= i\gamma z F_0(z) \varepsilon(k, t); \\ b &= i\gamma \left(L e^{-iDk^2/q} - z \right) B_0(z) \varepsilon(k, t - T). \end{aligned} \quad (25)$$

Здесь $T = 2D/c$ - время, за которое пучок света дойдет от нелинейного слоя до зеркала и вернется обратно. Подставляя полученные решения в (23), получаем уравнение относительно единственной функции $\varepsilon(k, t)$:

$$\tau \varepsilon_t + (1 + dk^2) \varepsilon = 2\gamma L R I_0 \varepsilon_T \sin Dk^2/q, \quad (26)$$

где $\varepsilon_T \equiv \varepsilon(t - T)$. Таким образом, зеркало играет роль обратной связи, усиливающей или ослабляющей поперечные неоднородности. Для исследования устойчивости стационарного состояния (21) будем искать решение в виде $\varepsilon(t) = \varepsilon \exp(\kappa t + i\omega t)$. Подставляя его в уравнение (26), и переходя от комплексных выражений к их модулям, получаем:

$$\sqrt{\omega^2 \tau^2 + (1 + dk^2 + \kappa \tau)^2} = 2\gamma L R I_0 e^{-\kappa \tau} \left| \sin Dk^2/q \right|. \quad (27)$$

Легко видеть, что положительные значения κ , т.е. развитие неустойчивости, возможно при условии выполнения неравенства

$$\gamma L I_0 \geq \frac{\sqrt{\omega^2 \tau^2 + (1 + dk^2)^2}}{2R \left| \sin Dk^2/q \right|}. \quad (28)$$

В частности, наиболее мягким оказывается условие возникновения стационарных возмущений с $\omega = 0$:

$$\gamma L I_0 \geq \frac{1 + dk^2}{2R |\sin Dk^2/q|}. \quad (29)$$

На рис.6 показаны области, в которых стационарное решение (21) неустойчиво. При малых значениях интенсивности накачки неустойчивость не развивается.

◆ При увеличении интенсивности наиболее выгодным является возникновение неустойчивости с минимальным волновым вектором k_0 . Направление этого вектора произвольно, причем возможно одновременное развитие нескольких неустойчивостей, отличающихся только направлением вектора k_0 . Однако три вектора одинаковой длины способны составить равносторонний треугольник. Возмущения, соответствующие трем таким волновым векторам k_0 благодаря их взаимодействию будут развиваться наиболее интенсивно, что объясняет возникновение стационарной гексагональной структуры (рис.7). При дальнейшем увеличении интенсивности накачки “включаются” нестационарные возбуждения с $\omega \neq 0$, приводящие к возникновению двумерной хаотической структуры. Таким образом, в рассмотренной системе возможна реализация различных режимов **оптической турбулентности**.

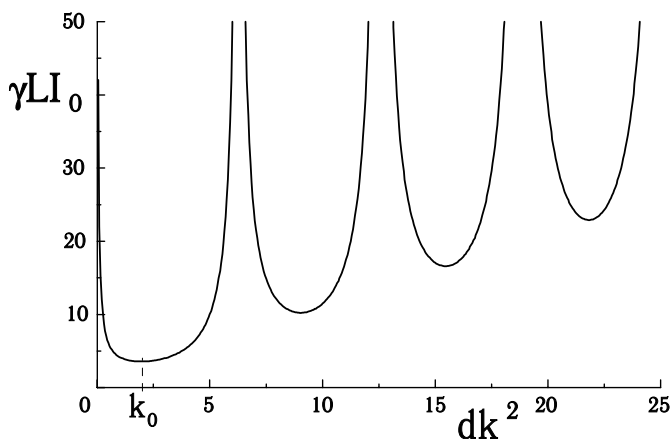


Рис.6. Области неустойчивости стационарного решения (21), $R = 0.5$, $qd = 2D$.

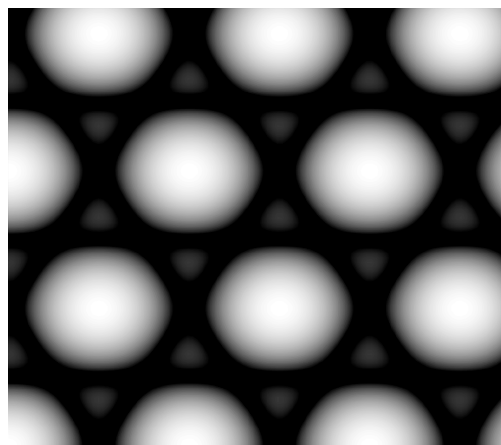


Рис.7. Характерный вид гексагональной структуры.

